

МЕТОД ПОВЫШЕНИЯ КАЧЕСТВА ЗВУЧАНИЯ СИНТЕЗИРОВАННОГО РЕЧЕВОГО СИГНАЛА В ЦИФРОВОМ ВОКОДЕРЕ С ПРЕДСКАЗАНИЕМ

С.Ф.Лихачев, М.В.Назаров, Ю.Н.Прохоров

Московский электротехнический институт связи

Р е ф е р а т

Предложен новый метод оценивания параметров речевых сигналов на основе метода обновляющего процесса (ОП). По сравнению с традиционным методом наименьших квадратов (МНК), разработанный метод позволяет повысить качество звучания синтезированного речевого сигнала в цифровом вокодере, работающем при действии шумов умеренной интенсивности.

I. Введение

Предметом настоящего доклада является исследование и разработка методов повышения эффективности рекуррентных алгоритмов оценивания параметров, обеспечивающих повышение качества цифровой передачи речи при низких скоростях 2400...4800 бит/с и наличии входных шумов умеренной интенсивности.

В настоящее время наиболее перспективными в этом направлении являются системы передачи с предсказанием [1,2,3].

Известно, что в вокодерах с линейным предсказанием не учитываются особенности слухового восприятия в частотной области.

В работах [1,2,4,5] и других доказано,

что область низких частот наиболее важна для слуха. В тоже время методы линейного предсказания, построенные в рамках метода наименьших квадратов, обеспечивают малую ошибку в описании высокочастотной области спектра, к которой ухо менее чувствительно. Исходя из этого, отличие спектров исходного и синтезированного речевых сигналов оказывается довольно значительным. Низкое качество восстановленного сигнала в низкоскоростных системах с линейным предсказанием обусловлено тем, что логичность предсказания содержит информацию о спектре, которую не может извлечь анализатор системы передачи, построенный на методе наименьших квадратов. Поэтому большой научный и технический интерес представляет разработка метода такого изменения спектрального состава восстановленного речевого сигнала, при котором учитываются особенности слухового восприятия.

2. Метод оценивания параметров предсказания.

Введем авторегрессионную модель сигнала

$$x_t = \vec{a}^T \vec{\varphi}(x_{t-1}) + \xi_t, \quad (1)$$

где $\vec{a}^T = (a_1, \dots, a_n)$ – вектор параметров авторегрессии; $\vec{\varphi}(x_{t-1})$ – функция регрессии; ξ_t – порождающий процесс; n – размерность модели.

Если сигнал и модель стохастически

эквивалентны, то обновляющий процесс v_t оказывается последовательностью некоррелированных случайных величин, обладающих теми же характеристиками, что и процесс ξ_t . Поэтому синтез сигнала на приемной стороне системы передачи можно представить как прохождение обновляющего процесса v_t через линейное звено с передаточной функцией $K(\omega)$. Отклонение формантных максимумов в спектре речевого сигнала заметно на слух, если оно превышает +1дБ. Таким образом, из физических соображений следует, что показатель качества, отражающий спектральные свойства синтезированного аналогового речевого сигнала, должен представлять собой меру отклонения спектров исходного ($G_{xx}(\omega)$) и синтезированного ($\hat{G}_{xx}(\omega)$) речевых сигналов. Такую меру можно представить в виде:

$$\rho = \iint [G_{xx}(\omega) - K(\omega) \cdot G_{yy}(\omega)] M(\omega) d\omega, \quad (2)$$

где $M(\omega)$ – функция веса.

Функция потерь (2) не позволяет получить аналитически простые алгоритмы оценивания параметров речевого сигнала.

Пусть $M = 0$, если $G_{xx}(\omega) - K(\omega) \cdot G_{yy}(\omega) < Q$. Тогда можно записать

$$\rho = \iint [G_{xx}(\omega) - K(\omega) \cdot G_{yy}(\omega)] M(\omega) d\omega. \quad (3)$$

Используя преобразование Винера-Хинчина меры ρ (3) теперь можно представить в виде:

$$\rho = \iint [B_{xx}(\varepsilon) - g(\varepsilon) B_{yy}(\varepsilon)] M(\varepsilon) d\varepsilon, \quad (4)$$

где $M(\varepsilon)$ и $M(\omega)$ связаны преобразованием Фурье: $g(\varepsilon) = \frac{M(\varepsilon)}{M(\omega)}$ и $B(\varepsilon) = \mathcal{F}(K(\omega) \cdot M(\omega))$.

Заменяя интеграл интегральной суммой и подставляя в нее вместо $B_{xx}(\varepsilon)$ ее оценку, получим показатель качества в дискретном времени:

$$\rho(\vec{a}) = \sum_{t=0}^n w(\varepsilon) \sum_{\varepsilon=t}^n [x_t - \vec{a}^T \vec{\varphi}(x_{t-1})] [x_{t+\varepsilon} - \vec{a}^T \vec{\varphi}(x_{t+\varepsilon-1})], \quad (5)$$

где $w(\varepsilon)$ – весовая последовательность.

Задача оценивания параметров может быть сформулирована следующим образом: по наблюдаемой последовательности x_t или $z_t = x_t + v_t$, $t = 1, 2, \dots, N$ и априори заданной модели сигнала (1) определить наилучшую \vec{m}_N из условия:

$$\vec{m}_N = \arg \min_{\vec{a}} \mathcal{J}_{yy}(\vec{a}), \quad (6)$$

где v_t – шумовая последовательность; \vec{m}_N – оценка вектора \vec{a} .

Метод отыскания оценок параметров модели авторегрессии минимизацией целевой функции $\mathcal{J}_{yy}(\vec{a})$ является развитием метода обновляющего процесса [1].

Из (5) можно получить оптимальную в смысле (6) оценку

$$\vec{m}_N = [\sum_{t=0}^n w(\varepsilon) \sum_{\varepsilon=t}^n \vec{\varphi}(x_{t-1}) \cdot \vec{\varphi}(x_{t+\varepsilon-1})]^{-1} \sum_{t=0}^n w(\varepsilon) \sum_{\varepsilon=t}^n x_{t+\varepsilon} \cdot \vec{\varphi}(x_{t+\varepsilon-1}).$$

Используя лемму об обращении матриц получим рекуррентные выражения для оценок:

$$\begin{aligned} \vec{m}_t &= \vec{m}_{t-1} + \vec{y}_{t-1} \cdot \vec{\varphi}(x_{t-1}) \sum_{\varepsilon=t}^n w(\varepsilon) [x_{t+\varepsilon} - \vec{m}_{t-1} \cdot \vec{\varphi}(x_{t+\varepsilon-1})]; \\ \vec{y}_t &= \vec{y}_{t-1} \cdot \vec{\varphi}(x_{t-1}) \left[1 + \sum_{\varepsilon=t}^n w(\varepsilon) \cdot \vec{\varphi}(x_{t+\varepsilon-1}) \cdot \vec{y}_{t-1} \cdot \vec{\varphi}(x_{t+\varepsilon-1}) \right]^{-1} \cdot \end{aligned} \quad (8)$$

с начальными условиями

$$\vec{m}_0 = E\vec{a}; \vec{y}_0 = \varepsilon^{-1} I, \varepsilon \rightarrow 0, \forall t \in \mathbb{N}, \vec{y}_t (pxp)$$

При стохастической эквивалентности сигнала и модели оценка (7), (8) совпадает при $N \rightarrow \infty$ с асимптотической оценкой МНК, но в отличии от нее в линейном случае оказывается несмещенной при стационарных шумах с равномерным спектром, так как, например, при $\rho = I$, $w(\varepsilon) = \delta_{\varepsilon \varepsilon_0}$, имеем из (7):

$$\lim_{N \rightarrow \infty} \vec{m}_N = \frac{B_{xx}(\varepsilon_0+1) + B_{yy}(\varepsilon_0+1)}{B_{xx}(\varepsilon_0) + B_{yy}(\varepsilon_0)} = \frac{B_{yy}(\varepsilon_0+1)}{B_{xx}(\varepsilon_0)}. \quad (9)$$

Свойство асимптотической несмещенности сохраняется для линейной модели авторегрессии при любом ε_0 , но может нарушаться в нелинейном случае.

Сложность технической реализации алгоритма (8) обусловлена необходимостью вычисления матрицы \vec{y}_t . Для упроще-

щения вычислений был предложен приближенный алгоритм оценивания:

$$\hat{m}_t = \vec{m}_{t-1} + \vec{\Gamma}_t \sum_{k=0}^m \omega_k^{(i)} \varphi(x_{t-k}) [x_{t-k} - \varphi(x_{t-k}) \vec{m}_{t-1}] \quad (10)$$

где $\vec{\Gamma}_t$ - матрица коэффициентов. Можно показать, что $\lim_{t \rightarrow \infty} \hat{m}_t = \vec{Q}$.

3. Экспериментальное исследование.

Экспериментальная проверка алгоритма оценивания параметров проводилась для линейной и нелинейной моделей предсказания. В случае линейной модели показано, что разработанные алгоритмы по сравнению с алгоритмами МНК обеспечивают меньшее смещение допредельных оценок параметров в шумах с равномерным спектром. На рис.1 показано смещение оценки \hat{m}_t параметра a в шумах (при истинном значении $a=-0,8$) для линейной модели авторегрессии первого порядка, при различных отношениях сигнал-шум.

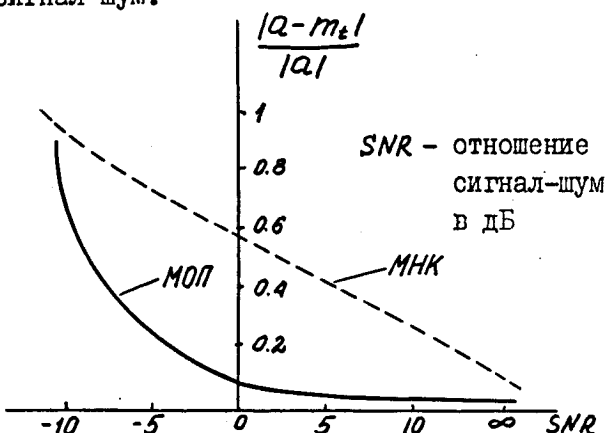


Рис.1 Смещение оценок параметров.

Из рисунка видно, что при $SNR = 5 \dots 10$ дБ, смещение оценок в 2...3 раза меньше, чем при МНК.

В качестве нелинейной модели рассмотрена модель предсказания, в которой регрессия $\varphi(x_{t-1})$ представлена в виде ряда по функциям Уолша:

$$\varphi(x_{t-1}) = \sum_{k=1}^m \sum_{i=0}^{N-1} a_k^{(i)} \cdot \varphi^{(i)}(x_{t-1})$$

где $\{a_k^{(i)}\}, k=1, \dots, m; i=0, \dots, N-1$
- параметры нелинейного предсказания;
 $\varphi^{(i)}(x)$ - функция Уолша i -го порядка. Такое представление позволяет учесть негауссовское распределение вероятностей сигнала.

Алгоритмы оценивания параметров в случае нелинейной модели обеспечивают "обеление" погрешности предсказания. В частности, в ней подавляются импульсы основного тона. На рис.2 представлена корреляционная функция погрешности предсказания речевого сигнала получения по МНК МОП. Отрезком показан 95%-ый доверительный интервал; $T_{\text{от}}$ - период основного тона.

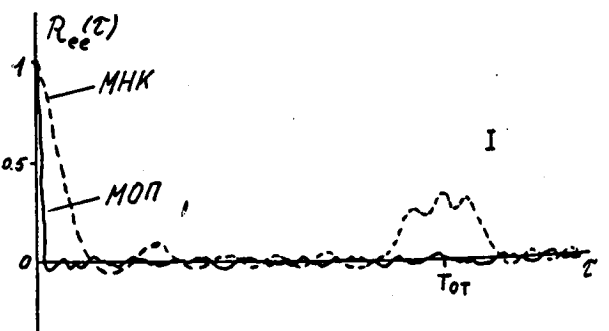


Рис.2 Корреляционные функции ошибки.

4. Разработка вокодера.

На основе алгоритма (8) на ЭВМ проведено моделирование цифрового вокодера с улучшенным качеством звучания восстановленного речевого сигнала в акустических шумах умеренной интенсивности $SNR = (+5 \dots +10)$ дБ. Скорость передачи 2400 бит/с.

В качестве исходного материала был использован речевой сигнал с полосой частот до 4,7 кГц при частотах дискретизации 8,16 кГц соответственно и числе уровней квантования 2^{12} .

Блок-схема передающей части (анализатора) вокодера представлена на рис.3.

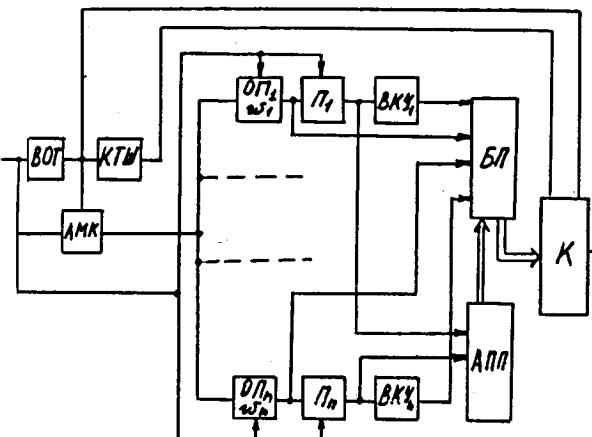


Рис.3 Блок-схема анализатора вокодера.

Передатчик состоит из:

блоков предварительной обработки (выделитель основного тона (ВОТ), классификатор тон-шум (КТШ), анализатор максимума корреляции (АМК), осуществляющих оценку периода основного тона, признака вокализованности, а также поиска точки взвешивания оценки корреляционной функции текущего сегмента сигнала;

пяти ветвей анализа (блок оценивания параметров ОП), блок предсказания (П), блок вычисления коэффициентов усиления (ВКУ) с различными значениями функции веса $\varphi(\tau)$;

блока памяти, в который записываются реализации погрешности предсказания и коэффициенты усиления;

блока анализа погрешности предсказания (АПЛ), который осуществляет выбор номера ветви по минимальному расстоянию между оценкой функции корреляции погрешности предсказания для данной ветви и функцией корреляции порождающего процесса, блока квантования (К).

Экспериментальные исследования вокодера показали следующее:

1) При $SNR = 5 \dots 10$ дБ разборчивость слов равна 97%.

2) Улучшение качества синтезирован-

ного сигнала по сравнению с МНК достигается за счет уточнения спектров сигнала на переходных участках речи, которые плохо воспроизводятся в традиционных вокодерах. Близость спектров или корреляционных функций исходного и синтезированного сигналов в разработанном вокодере улучшается на 15...20%.

В таблице I приведены количественные соотношения для квадратичных отклонений функций исходного и синтезированного сигналов при различных SNR . Ошибка ε_R^2 равна нормированному квадрату нормы разности корреляционных функций исходного и синтезированного сигналов на периоде основного тона.

Таблица I.

SNR (дБ)	∞	I2	8
$\varepsilon_R^2 (\text{МНК})$	$0,41 \pm 0,04$	$0,45 \pm 0,03$	$0,53 \pm 0,01$
$\varepsilon_R^2 (\text{МОП})$	$0,307 \pm 0,03$	$0,37 \pm 0,04$	$0,48 \pm 0,01$

3) Методом парных сравнений установлено, что число действительных суждений, высказанных аудиторами в пользу разработанного вокодера составило 80...85%.

Л и т е р а т у р а

- Прохоров Ю.Н. Статистические модели и рекуррентное предсказание речевых сигналов. -М.:Радио и связь, 1984.-240с.
- Лихачев С.Ф. Нелинейное предсказание речевых сигналов. -Материалы Всесоюз. семинара APCO-I2.-Киев, 1982, с.II2-II4.
- Назаров М.В., Прохоров Ю.Н. Методы цифровой обработки и передачи речевых сигналов. -М.:Радио и связь, 1985.-176с.
- Jain V.K. Speech signal analysis by error-weighted LPC-GIOBECOM'82: IEEE Global Telecommun. conf. Miami Beach, Fla, 29 Nov-2 Dec, 1982, Conf.Rec.Vol 3,

New York, 1982, pp 1321-1324.

5. Un C.K., Lee J.R. On spectral flattening techniques in residual - excited linear preclication vocoding - ICASSP' 82, Proc. IEEE; Int. Conf. Acoust. Speech and Signal Proc, Paris, May 3-5, 1982, NY, pp 216-219.